



بررسی ویژگی‌های فیزیکوشیمیایی و کانی‌شناسی خاک‌های قدیمی دارای خصوصیات ورتیک در شهرستان زنجان

بهزاد امیری^۱، محمد امیر دلاور^۲، آمان نادری^۳، پریسا علمداری^۴

۱-دانشجوی کارشناسی ارشد گروه خاک‌شناسی دانشگاه زنجان، ۲-استادیار گروه خاک‌شناسی دانشگاه زنجان، ۳-دانشجوی دکتری پیدایش طبقه‌بندی و ارزیابی اراضی گروه خاک‌شناسی دانشگاه زنجان

چکیده

در تحقیق حاضر، مطالعه فیزیکوشیمیایی و کانی‌شناسی خاک‌های قدیمی شهرستان زنجان انجام شد. خاک‌های زیرین بافت سنگین‌تری داشتند و دارای مشخصه کلسیک و آرجیلیک بود. افق‌های جیپسیک و کلسیک با ساختمان ضعیف و بافت سبک در خاک رویی را داشتند. وجود خصوصیات ورتیک در نتیجه فرآیندهای انقباض و انبساط و نیروهای برشی جانبی مشاهده شد. کانی‌های ایلیت، کلریت، بویزه کلریت تری اکتاھدرال و غنی از آهن، کائولینیت و مقادیر کم اسمکتیت در افق رویی خاک قدیمی مشاهده شد. در افق‌های پایین تر کلریت الومینیومدار، ورمیکولیت و هیدروکسی بین لایه‌ای ورمیکولیت نیز مشاهده شد. نتایج بیانگر تکامل بالای افق‌های خاک زیرین و همچنین تبدیل کانی‌های کلریت و ایلیت به ورمیکولیت و اسمکتیت بود.

واژه‌های کلیدی: اسلیکنساید، آرجیلیک، پالتوسول

مقدمه

تحقیقات متعددی در زمینه مطالعه خاک‌های قدیمی در سطوح مختلف ژئومورفیک شامل رسوبات دریاچه‌ای (Djamali et al., ۲۰۰۸)، واریزه‌های پیچالی (Ramezani et al. ۲۰۰۸)، رسوبات آبرفتی (Kuhle ۱۹۶۹)، رسوبات آبرفتی (Vita and Finzi, ۱۹۶۹) (Regard et al., ۲۰۰۶)، و اخیراً توالی‌های لس (Kehl et al., ۲۰۰۵a, ۲۰۰۵b) انجام‌شده و نتایج آن‌ها همگی بیان‌گر تشکیل خاک‌های قدیمی در دوره‌های گرم و مرتکبی چون هولوسن و پلیستوسن و دوران بین یخبندان است که ویژگی‌های خاک آن‌ها با اقلیم کنونی کاملاً متفاوت است. وجود خاک‌های با خصوصیات مورفوژی و کانی‌شناسی متكامل به همراه افق‌های آرجیلیک با رنگ زمینه قرمز، که نشانه شستشوی رس است و نمی‌تواند مربوط به دوران اقلیمی کنونی باشد در مناطق مختلف ایران شناسایی و گزارش شده است.

مواد و روش‌ها

در این پژوهش مقطع عرضی زنجان با مختصات طول جغرافیایی ۳۶ درجه و ۴۱ دقیقه و ۳۳ ثانیه و عرض جغرافیایی ۴۸ درجه و ۲۳ دقیقه و ۵۲ ثانیه واقع در فلات‌های مرتفع متشکل از نهشته‌های کنگلومرا است. ویژگی‌های مورفوژیکی از قبیل رنگ خاک، ساختمان، تجمع آهک، رس و مواد آلی، ماتلهای ترانشه‌های موردنظر مطابق با روش استاندارد (Schoeneberger, ۲۰۱۲) ثبت و نمونه‌های خاک دست‌خورده و دست‌خورده جمع‌آوری گردید. بافت خاک به روش هیدرومتر، pH، کربنات‌کلسیم معادل (Nelson, ۱۹۸۲)، کربن آلی (Jackson, ۲۰۰۵) در خاک اندازه‌گیری شد. کانی‌های رس خاک با استفاده روش کیتیریک و هوپ (۱۹۶۳) توسط دستگاه اشعه ایکس پراش پرتوایکس مدل بروکر D^a در دانشگاه زنجان مطالعه شد. تیمارهای منیزیم، منیزیم و بخار اتیلن گلیکول، پتانسیم در دماهای ۲۵، ۳۵ و ۵۵ درجه سانتی‌گراد و تیمار تکمیلی اسید‌کلریدریک به نمونه‌های رس اعمال شد.

نتایج و بحث

مقطع زنجان واقع در تراس‌ها و در زیر نهشته‌های گراول جوان مربوط به دوران کواترنری (Q_t) است که در زیر این خاک‌ها تشکیلات کرج مربوط به دوران زمین شناسی اؤسنن (Ek) (Carré ۱۹۷۷) قرار گرفته است. ضخامت رسوبات رویین متغیر بوده و در این مقطع به ۸ متر می‌رسد. نتایج برخی خصوصیات فیزیکی و شیمیایی خاک‌های قدیمی مقاطع زنجان و ساری در جدول ۱ گزارش شده است. خاک‌های زیرین دارای بافت سنگین‌تری نسبت به خاک رویی است. وجود افق‌های مشخصه کلسیک و آرجیلیک نشان از تاثیر شرایط هواردگی بالا در تشکیل این خاک نسبت به خاک بالایی است. افق‌های جیپسیک و کلسیک با ساختمان ضعیف و بافت سبک در خاک رویی نشان از هواردگی کند و آبشویی ضعیف است. یکی دیگر از خصوصیات خاک‌های زیرین وجود مقاطع صاف و سیقلی در متن خاک است که خصوصیات ورتیک را نشان می‌دهد. این خصوصیت در نتیجه فرآیندهای انقباض و انبساط، بهم خوردگی عمودی و نیروهای برشی جانبی است و به سبب تر و خشک شدن متناوب کانی‌های رسی است که در افق‌های سطحی خاک‌های قدیمی رخ می‌دهد (Joeckel et al., ۱۹۹۴). Bandopadhyay et al. (۲۰۱۰) در بررسی خاک‌های ورتیک-پالتوسول وجود مواد مادری مافیک به صورت درجا یا آبرفتی را جهت تشکیل این خاک‌ها ضروری دانستند.

در افق ۲ آستانه ۱ آنگستروم تفرق اول (۰۰۱) کانی ایلیت و آستانه های ۵/۰ و ۳/۳ آنگستروم تفرق های دوم (۰۰۲) و سوم (۰۰۳) این کانی هستند. حضور آستانه ۱/۴ آنگستروم در تیمار اشباع با پتانسیم و دمای ۵۵ درجه سلسیوس حضور کانی کلریت، بویژه کلریت تری اکتاهدرال را نشان می دهد. انتقال نسبی آستانه ۱۴ آنگستروم به سمت ۱ آنگستروم در تیمار ۳۵۰ درجه سلسیوس در اثر رمبش ساختار کلریت است. شدت بالای آستانه تفرق سوم (۰۰۳) کلریت (۷/۴) در مقایسه با آستانه های ۱ و ۰۰۵ آنگستروم وجود مقادیر بیشتر آهن را در لایه هیدروکسیل داخلی نسبت به لایه های دوبه یک کلریت اثبات می کند. شدت بالاتر آستانه تفرق دوم (۰۰۲) نسبت به تفرق اول (۰۰۱) نیز غنی بودن کلریت از آهن را نشان می دهد (Brindley and Brown, ۱۹۸۰). حضور آستانه ۱/۷ آنگستروم در تیمار اسید کلریدریک بیانگر حضور کائولینیت است. حضور آستانه های ۳/۵ و ۵/۵ به ترتیب نشان دهنده آستانه های رده چهارم و دوم کلریت و کائولینیت هستند. تیمار اسید کلریدریک بر کائولینیت بی تاثیر ولی آستانه های مربوط به کلریت در تیمار اسید کلریدریک کاهش یافته است. وجود آستانه های نامنظم در ناحیه ۱۰ تا ۱۴ آنگستروم نشان گر حضور کانی های اسمنتیت یا ورمی کولیت و رده دوم کانی های مخلوط است. وجود آستانه ۱۷ آنگستروم در تیمار بخار اتیلن گلیکول حضور کانی اسمنتیت را تأکید می کند. خاک ها با مواد مادری مافیک همراه با افق کلیسیک از کانی اسمنتیت غنی هستند (Vander Merwe, ۱۹۶۳ and Weber, ۱۹۶۳). آستانه ۲/۴ آنگستروم بدلیل وجود کانی کوارتز در بخش رس است. در افق ۲Bkb۱ تیمار اشباع با پتانسیم را پتانسیم بین لایه ای آن منقبض شده و تا ۱۰-۲/۱۰ آنگستروم کاهش می یابد و حضور ورمی کولیت اشباع با منیزیم را نشان می دهد. خصوصیات پراش اشعه ایکس کانی های هیدروکسیل آلومینیوم بین لایه ای کانی های رسی در میان الگوهای ورمی کولیت، اسمنتیت و کلریت آلومینیوم دار بسته به درجه پرشدگی فضاهای بین لایه ای دارد. حذف آستانه ۱/۷ آنگستروم وجود آستانه ۱۰ آنگستروم در تیمار ۵۵۰ K نشان دهنده حضور کلریت آلومینیوم دار است. وجود شانه در زوایای پایین تر در شانه آستانه ۱۳ آنگستروم بیان گر تشکیل هیدروکسی بین لایه ای ورمی کولیت است. از نمونه ۱ به ۲ از سوی دیگر وجود آستانه پهن از ۱۱ تا ۱۳ در تیمار منیزیم و گلیکول به بیشترین مقدار خود رسیده و بیانگر وجود مقادیر بالای کانی های ابساط پذیر در این افق است (شکل ۱).

جدول (۱) برخی خصوصیات مورفولوژیکی و نتایج برخی ویژگی های فیزیکی و شیمیایی

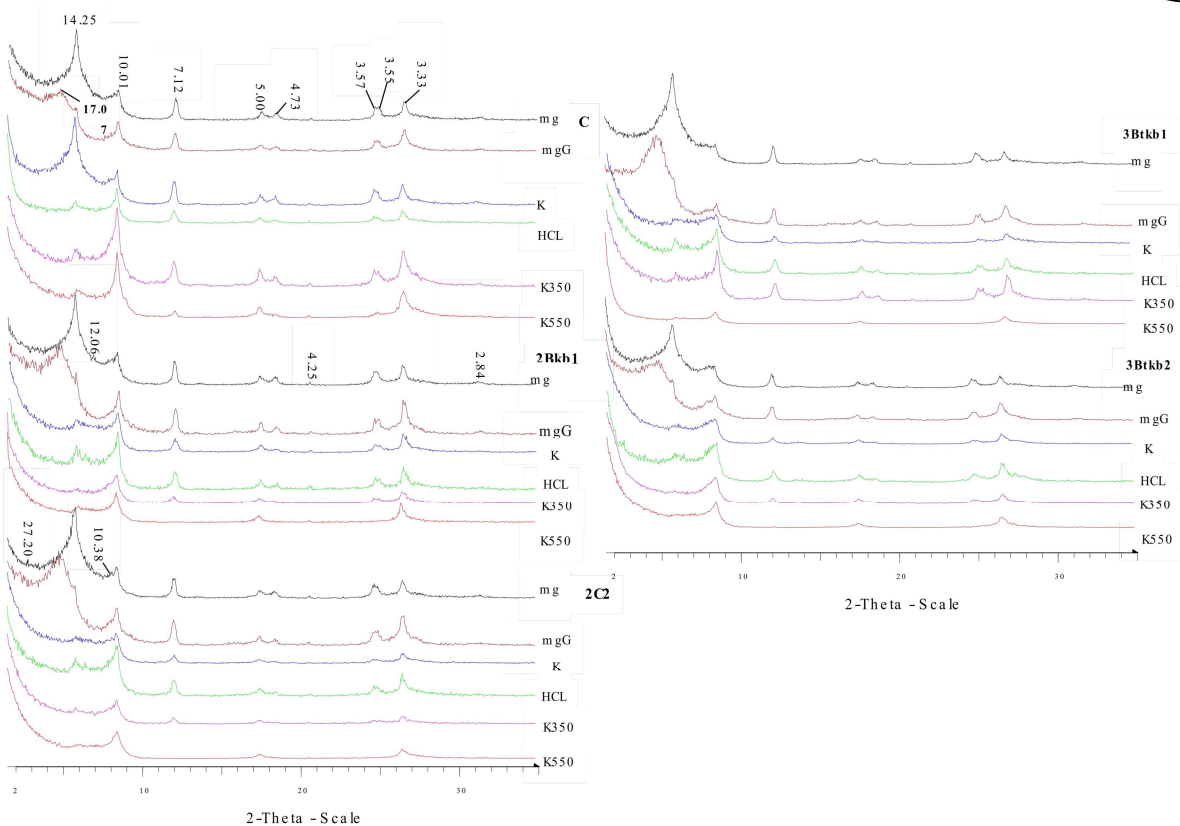
Horizon	Depth(m)	Color (Dry)	Texture	Structure	Clay coating	pH	%CaCO ₃	%OC
C	-۰-۷.۹۰	۱۰ YR ۶/۴	LS	SG	-	۷.۸	۲۱	۰.۷۰
۲Bkb۱	۷.۹۰-۸.۱۲	۱۰ YR ۵/۴	SL	۲MABK	-	۷.۹	۱۹.۲۵	۰.۱۹
۲Bkssb۱	۸.۱۳-۸.۶۵	۱۰ YR ۵/۴	SiL	۲CABK	-	۸	۱۹.۷۵	۰.۰۶
۲Bkssb۲	۸.۶۵-۹.۰۵	۱۰ YR ۵/۴	L	۲MABK	-	۸.۱	۱۸.۸۷	۰.۱۴
۲Bkb۲	۹.۰۵-۹.۵۰	۱۰ YR ۵/۴	SiL	۲CABK	-	۷.۹	۱۶.۲۵	۰.۰۸
۲C۱	۹.۵۰-۹.۸۵	۱۰ YR ۶/۴	S	SG	-	۸	۱۴.۶۲	۰.۰۶
۲C۲	۹.۸۵-۱۰.۳۵	۷.۵YR ۴/۴	S	SG	-	۸	۸	۰.۵۶
۳Btkb۱	۱۰.۳۵-۱۰.۸۰	۷.۵YR ۵/۳	C	۳MABK	MDCPCP	۸.۱	۴۳	۰.۹۲
۳Btkb۲	۱۰.۸۰-۱۱.۵۵	۷.۵YR ۷/۴	CL	۱CABK	CDCPCP	۸.۲	۱۶.۶۲	۰.۲۹
۳Bkb	+۱۱.۵۵	۱۰ YR ۵/۴	SiL	۲MABK	-	۸	۱۳.۲۵	۰.۱۲

Structure : (1=Weak, 2=Moderate, 3= Strong), (F=fine, M=medium, C= coarse, GR=granular, ABK=angular blocky, SG=single grain);

Concentration : CAN= carbonate nodule, FDC= finely disseminated carbonate, CAM= carbonate massy; clay coating : V=very few,

C=common, M=many), (F=faint, D=distinct), (C=continuous), (P=Pedface), (B=broken, C=continues), (P=platy); texture : C=clay, L=loam, S= sand, Si=silt

شکل (۱) پراش نگاشته های اشعه ایکس مریخ زنجان



منابع

- Bandopadhyay P.C., Eriksson P.G., and Roberts R.J. ۲۰۱۰. A vertic paleosol at the Archean-Proterozoic contact from the Singhbhum-Orissa craton, eastern India. *Precambrian Research*, ۱۷۷(۳) : ۲۷۷-۲۹۰.
- Brown G. and Brindley G.W. ۱۹۸۰. X-ray diffraction procedures for clay mineral identification. Crystal structures of clay minerals and their X-ray identification, Δ : ۳-۵-۳۵۹.
- Djamali M.J.L., Beaulieu M., Shah-hosseini V., Andrieu-Ponel P., Ponel A., Amini H., Akhani S., Leroy L., Stevens H., Lahijani and Brewer S. ۲۰۰۸. A late Pleistocene long pollen record from Lake Urmia, Iran. In: *Quat. Res.*, 69: ۴۱۳-۴۲۰.
- Jackson M.L. and Barak P. ۲۰۰۵. Soil chemical analysis : advanced course. UW-Madison Libraries Parallel Press.
- Joeckel R.M. ۱۹۹۴. Virgilian (Upper Pennsylvanian) paleosols in the upper Lawrence Formation (Douglas Group) and in the Snyderville Shale Member (Oread Formation, Shawnee Group) of the northern midcontinent, USA : pedologic contrasts in a cyclothem sequence. *Journal of Sedimentary Research*, 64(4).
- Kehl M.; Frechen M., and Skowronek A. ۲۰۰۵a. Paleosols derived from loess and loess-like sediments in the Basin of Persepolis, Southern Iran. In: *Quat. Int.* 140/141: 135-149.
- Kehl M.; Sarvati R.; Ahmadi H.; Frechen M. and Skowronek A. ۲۰۰۵b. Loess paleosol-sequences along a climatic gradient in Northern Iran. In: *Eiszeitalter u. Gegenwart*, 55: 149-173.
- Kittrick J.A. and Hope E.W. ۱۹۶۳. A procedure for the particle size separation of soils for X-ray diffraction Analysis. *Soil Science*, 96: 312-325.
- Kuhle M. ۲۰۰۸. The Pleistocene Glaciation (LGP and pre-LGP, pre-LGM) of SE Iranian mountains exemplified by the Kuh-i-Jupar, Kuh-i-Lalezar and Kuh-i-Hezar Massifs in the Zagros. In: *Polarforschung*, 77(2/3): 71-88.



- Nelson D.W. and Sommers L.E. ۱۹۸۲. Total Carbon, Organic Carbon and Organic MatterIn: Page, A.L, et al (Eds), Methods of Soil Analysis. Part II. Chemical and microbiological properties, ۲nd ed., Agronomy Monograph. No: ۹. ASA and SSSA. Madison, Wisconsin, USA, Pp. ۵۳۹-۵۷۷.
- Ramezani E., Marvie Mohadjer R.M., Knapp H.D., Ahmadi H., and Joosten H. ۲۰۰۸. The late-Holocene vegetation history of the Central Caspian (Hyrcanian) forests of northern Iran. In: The Holocene, ۱۸: ۳۰۷-۳۲۱.
- Regard V., Bellier O., Braucher R., Gasse F., Bourles D., Mercier J., Thomas J.C. Abbassi M.R., Shabani E., and Soleymani S. ۲۰۰۶. Be-۱۰ dating of alluvial deposits from Southeastern Iran (the Hormoz Strait area). In: Palaeogeogr, Palaeoclimat, Palaeoecol, ۲۴۲: ۳۶-۵۳.
- Schoeneberger P.J.D.A. Wysocki E.C. Benham and W.D. Broderson. ۲۰۱۲. Field book for describing and sampling soils, Version ۳.. Natural Resources Conservation Service, National Soil Survey Center, Lincoln, NE, Pp. ۲۲۸.
- Van der Merwe C.R., and Weber H.W. ۱۹۶۳. The clay minerals of South African soils developed from granite under different climatic conditions. South African Journal of agriculture soil science, ۶: ۴۱۱-۴۵۴.
- Vita and Finzi C. ۱۹۶۹: Late quaternary alluvial chronology of Iran. In: Geologische Rundsch, ۵۸: ۹۵۱-۹۷۳.

Abstract

In this research, physicochemical and mineralogical characterizes of paleosols were studied in Zanjan city . The underlying horizons had heavier texture and were characterized by calcic and argillic horizons. Gypsic and calcic horizons were contained poor structure and sandy texture in upper parts of the profile. There vertic properties as a result of expansion and contraction and vertical and lateral shear forces were observed. Illite, chlorite, especially trioctahedral iron-rich chlorite, kaolinite and small amounts smectite were distinguished. Chlorite, vermiculite and hydroxy-interlayer vermiculite were observed in the deeper horizons. The results indicated that paleosols were more developed and probably chlorite and chlorite and illite were transformed to smectite and vermiculite.